

# PROBABILIDADE II

Precipitação máxima esperada na cidade de Lavras-MG via distribuição generalizada de valores extremos

Lucas Pereira Belo  
Jonas Firmiano da Silva  
Rodrigo da Cruz Nunes

15 de agosto de 2025

## Definição

Sejam  $X_1, X_2, \dots, X_n$  uma amostra aleatória de tamanho  $n$  de uma função de distribuição acumulada  $F(\cdot)$ . Então  $Y_1 \leq Y_2 \leq \dots \leq Y_n$ , em que os  $Y_i$  são os  $X_i$  organizados em ordem de magnitudes crescentes, são definidos como as **estatísticas de ordem** correspondentes à amostra aleatória  $X_1, \dots, X_n$  (MOOD *et al.*, 1974).

## Definição

- $Y_1$  é a primeira estatística de ordem e representa o **valor mínimo** da amostra aleatória.

$$Y_1 = \min\{X_1, X_2, \dots, X_n\}$$

- $Y_n$  é a  $n$ -ésima estatística de ordem e representa o **valor máximo** da amostra aleatória.

$$Y_n = \max\{X_1, X_2, \dots, X_n\}$$

# Qual a distribuição de $Y_n$ ?

# Distribuição de $Y_n$

## Exemplo

Imagine que o nosso experimento consiste em lançar um dado comum de seis faces 3 vezes.

Neste cenário, cada  $X_i$  representa o resultado de *um único lançamento* do dado. Como vamos lançar o dado 3 vezes ( $n = 3$ ), teremos três variáveis aleatórias:

- $X_1$ : O resultado do **primeiro** lançamento.
- $X_2$ : O resultado do **segundo** lançamento.
- $X_3$ : O resultado do **terceiro** lançamento.

# Distribuição de $Y_n$

## Exemplo

Você lança os dados e obtém a sequência: **4, 1, 5**. Neste caso, teríamos:  
 $x_1 = 4$ ,  $x_2 = 1$  e  $x_3 = 5$ .

As estatísticas de ordem,  $y_i$ , são os mesmos valores da nossa amostra, mas **colocados em ordem crescente**. Usando o mesmo resultado do exemplo acima (4, 1, 5):

- $y_1$ : O **menor** valor que obtivemos.  $y_1 = \min\{4, 1, 5\} = 1$ .
- $y_2$ : O valor do **meio**.  $y_2 = 4$ .
- $y_3$ : O **maior** valor que obtivemos.  $y_3 = \max\{4, 1, 5\} = 5$ .

# A distribuição de $X_i$ vs. a distribuição de $Y_n$

## Exemplo

A probabilidade de cada resultado para um único lançamento de um dado justo é uma **distribuição uniforme discreta**:

- $P(X_i = 1) = 1/6$
- $P(X_i = 2) = 1/6$
- ...
- $P(X_i = 6) = 1/6$

# Qual a distribuição de $Y_n$ ? (o máximo de 3 lançamentos)

## Exemplo

- **Qual a probabilidade do máximo ser 1?** Para que o valor máximo dos três lançamentos seja 1, você precisa tirar obrigatoriamente a sequência (1, 1, 1).
- **Qual a probabilidade do máximo ser 6?** Para que o valor máximo seja 6, basta que *pelo menos um* dos dados seja 6. Existem muito mais combinações que resultam em um máximo de 6 (por exemplo, (6, 1, 2), (3, 6, 4), (6, 6, 1), etc.).

# Qual a distribuição de $Y_n$ ? (o máximo de 3 lançamentos)

## Exemplo

- A probabilidade do máximo ser 1 é:

$$P(Y_3 = 1) = P(X_1 = 1; X_2 = 1; X_3 = 1) = \frac{1}{6} \times \frac{1}{6} \times \frac{1}{6} = \frac{1}{216}$$

- Para calcular a probabilidade do máximo ser 6, usamos o evento complementar. A probabilidade do máximo ser menor ou igual a 5 ( $Y_3 \leq 5$ ) ocorre se, e somente se, todos os três lançamentos forem menores ou iguais a 5.

$$P(Y_3 \leq 5) = P(X_1 \leq 5; X_2 \leq 5; X_3 \leq 5) = \left(\frac{5}{6}\right)^3 = \frac{125}{216}.$$

Portanto, a probabilidade do máximo ser exatamente 6 é:

$$P(Y_3 = 6) = 1 - P(Y_3 \leq 5) = 1 - \frac{125}{216} = \frac{91}{216}$$

# Qual a distribuição de $Y_n$ e $Y_1$ ?

## Teorema

Sejam  $Y_1 \leq Y_2 \leq \dots \leq Y_n$  as estatísticas de ordem de uma função de distribuição acumulada  $F(\cdot)$ . As funções de distribuição acumulada para a maior e a menor estatística de ordem são, respectivamente: (MOOD; GRAYBILL; BOES, 1974)

$$F_{Y_n}(y) = \sum_{j=n}^n \binom{n}{j} [F(y)]^j [1 - F(y)]^{n-j} = [F(y)]^n.$$

e

$$F_{Y_1}(y) = \sum_{j=1}^n \binom{n}{j} [F(y)]^j [1 - F(y)]^{n-j} = 1 - [1 - F(y)]^n.$$

# O teorema de tipos extremais

Também conhecido como teorema de Fisher-Tippett-Gnedenko

## Distribuição assintótica

A questão fundamental: Qual é a distribuição do valor máximo de uma amostra,  $Y_n = \max\{X_1, \dots, X_n\}$ , quando o tamanho da amostra  $n \rightarrow \infty$ ?

## Teorema central do limite (TCL)

Para a média amostral  $\bar{X}_n$ , o TCL evita a convergência degenerada para  $\mu$  através de uma normalização linear (desde que certas condições sejam atendidas):

$$\frac{\bar{X}_n - b_n}{a_n} = \frac{\bar{X}_n - \mu}{\sigma/\sqrt{n}} \xrightarrow{d} N(0, 1)$$

## Distribuição assintótica

De forma análoga, buscamos sequências de constantes de normalização,  $a_n > 0$  e  $b_n$ , tais que:

$$\frac{Y_n - b_n}{a_n} \xrightarrow{d} G(x),$$

em que  $G(x)$  é uma distribuição **não-degenerada**.

# O teorema de tipos extremais

## Teorema

Se existem sequências de constantes de normalização  $a_n > 0$  e  $b_n$  tais que, para  $n \rightarrow \infty$ , a distribuição do máximo normalizado  $Y_n$  converge para uma distribuição não-degenerada  $G(x)$ :

$$\Pr \left\{ \frac{Y_n - b_n}{a_n} \leq x \right\} \rightarrow G(x)$$

Então,  $G(x)$  deve pertencer a uma das três famílias de distribuições a seguir:

**I: Gumbel:**  $G(x) = \exp\{-\exp(-x)\}$   $-\infty < x < \infty$ ;

**II: Fréchet:**  $G(x) = \begin{cases} 0 & x \leq 0 \\ \exp(-x^{-\alpha}) & x > 0, \alpha > 0; \end{cases}$

**III: Weibull:**  $G(x) = \begin{cases} \exp\{-(-x)^\alpha\} & x < 0, \alpha > 0 \\ 1 & x \geq 0. \end{cases}$

# A distribuição generalizada de valores extremos (GEV)

## Definição

A Distribuição Generalizada de Valor Extremo (GEV) unifica os três tipos (Gumbel, Fréchet e Weibull) em uma única família. Sua função de distribuição acumulada é dada por:

- Para  $\xi \neq 0$ :

$$G(x; \mu, \sigma, \xi) = \exp \left\{ - \left[ 1 + \xi \left( \frac{x - \mu}{\sigma} \right) \right]_+^{-1/\xi} \right\}$$

- Para  $\xi = 0$ :

$$G(x; \mu, \sigma) = \exp \left\{ - \exp \left( - \frac{x - \mu}{\sigma} \right) \right\}$$

em que  $\mu$ ,  $\sigma$ ,  $\xi$  são os parâmetros de localização, escala e forma respectivamente.

# Parâmetros da GEV

O valor do parâmetro de forma,  $\xi$ , determina a qual das três distribuições de valor extremo a GEV corresponde:

- $\xi = 0$ : Corresponde ao **Tipo I (Gumbel)**.
- $\xi > 0$ : Corresponde ao **Tipo II (Fréchet)**.
- $\xi < 0$ : Corresponde ao **Tipo III (Weibull)**.

Teoricamente, a convergência para a GEV ocorre com a normalização:

$$\frac{Y_n - b_n}{a_n} \xrightarrow{d} G(\mu, \sigma, \xi)$$

No entanto, pode-se mostrar que as constantes de normalização  $a_n$  e  $b_n$  são “absorvidas” pelos parâmetros de escala e localização, resultando em:

$$Y_n \xrightarrow{d} G(\mu^*, \sigma^*, \xi).$$

# Estimação dos parâmetros da GEV

## Estimação

- ① Utilizamos a função de verossimilhança  
 $L(\mu, \sigma, \xi; \mathbf{x}) = L(\mu, \sigma, \xi; x_1, \dots, x_n);$
- ② Determinamos a função de log-verossimilhança (função suporte) da GEV;
- ③ Procuramos as estimativas de  $\mu$ ,  $\sigma$ ,  $\xi$  que maximizam a função suporte.

## Métodos numéricos

- Newton-Raphson (NEWTON, 1711; NEWTON, 1774; RAPHSON, 1690);
- Gradiente decrescente (CAUCHY et al., 1847);

## Exemplos

O foco não está nas estimativas dos parâmetros da distribuição GEV em si, mas na aplicação do modelo ajustado para prever quantidades de interesse prático. Por exemplo:

- Qual deve ser a altura ideal de um muro de contenção para suportar a maré mais alta esperada a cada cem anos;
- Qual é a maior velocidade do vento esperada em um intervalo de cinquenta anos, a fim de projetar estruturas capazes de resistir a esse tipo de evento extremo.

## Definição

Essas quantidades são conhecidas, no contexto da teoria dos valores extremos, como níveis de retorno.

# LAVRAS-MG



Figura: Imagem da cidade de Lavras.

# Por que escolhemos Lavras?

## Razões para a escolha

- **Destaque na agricultura:** Forte presença no cultivo de **café**, soja, milho e feijão;
- **Pecuária leiteira:** Reconhecida por um dos melhores rebanhos de gado leiteiro do estado;
- **Agricultura familiar:** Importante setor de produção local;
- **Condições climáticas favoráveis:** Clima propício para atividades agrícolas e estudos;
- **Projetos de extensão da UFLA:** Apoio e desenvolvimento de iniciativas na agricultura e pecuária.

# Produção em larga escala: Café e Leite



Figura: Fazenda Faria



Figura: Fazenda Palmital

## Agricultura familiar

É um pilar essencial na produção de alimentos, com atuação destacada em duas frentes:

- A participação em chamadas públicas para a merenda escolar por meio do PNAE, garantindo alimentos frescos e de qualidade para os estudantes;
- Comercialização direta de seus produtos ao consumidor, fortalecendo a economia local.

## Principais produtos da agricultura familiar.

Segundo Lage(2019), esses são os principais produtos da agricultura familiar:

- Leite (30%);
- Hortaliças (13%);
- Café (12%);
- Milho (12%);
- Ovo caipira (7%);
- Queijo (5%);
- Gado para corte (4%);
- Frutas (4%);
- Feijão (4%).

# Por que o estudo sobre precipitação em Lavras?

## Eventos recentes e impactos

- **Transtornos significativos (Início de 2025):** Apesar do histórico de poucas enchentes, Lavras enfrentou sérios problemas devido a fortes chuvas.
- **Impactos noticiados (G1 Sul de Minas, 2025):**
  - Ruas alagadas.
  - Residências parcialmente submersas.
  - Quedas de pontes.
  - Interrupção no fornecimento de energia elétrica.

## Fatores agravantes

- **Crescimento urbano desordenado:** Contribui para a vulnerabilidade da cidade.
- **Mudanças climáticas constantes:** Aumentam a frequência e intensidade dos eventos extremos.

## Origem e abrangência dos dados

- **Fontes principais:**
  - Banco de Dados Meteorológicos para Ensino e Pesquisa (**BDMEP**) do INMET.
  - Informações complementares do trabalho de Beijo *et al.* (2005).
- **Tipo de informação:** Registros diários de **precipitação pluvial (mm)**.
- **Local de coleta:** Cidade de Lavras.
- **Período abrangido:** **01/01/1961 a 02/05/2025.**

# Organização dos dados de precipitação

## Processamento das máximas anuais

- Os dados foram agrupados anualmente:
  - Grupos de **365 dias** para anos comuns.
  - Grupos de **366 dias** para anos bissextos.
- Dentro de cada grupo, foram extraídas as **maiores precipitações diárias** observadas;
- Isso resultou em um conjunto de dados com **65 observações** das precipitações máximas anuais.

## Recomendações e fundamentação

- A **Organização Mundial de Meteorologia** sugere análises com séries históricas de **pelo menos 30 anos** (BADDOUR; KONTONGOMDE, 2007).
- Cai e Hames (2011) indicam um mínimo de **40 observações** para a validade das inferências estatísticas fundamentais da GEV.
- Roslan *et al.* (2020) consideram que o número mínimo de observações deve ser **50**, pois isso:
  - Garante a **normalidade assintótica** dos estimadores de máxima verossimilhança.
  - Torna as estimativas dos níveis de retorno **mais confiáveis**.

## O presente estudo

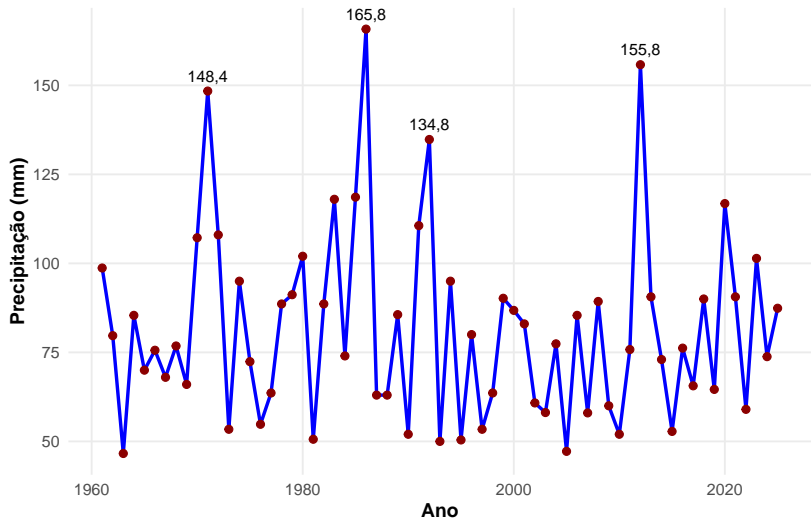
- O presente estudo, com **65 observações**, atende a todos esses **requisitos mínimos sugeridos**.

# Valores de precipitação máxima diária anual (mm) 1961-2025.

98,7	79,7	46,6	85,4	70,0	75,6	68,0
76,8	66,0	107,2	148,4	108,0	53,4	95,0
72,4	54,8	63,6	88,6	91,2	102,0	50,6
88,6	118,0	74,0	118,6	165,8	63,0	63,0
85,6	52,0	110,6	134,8	50,0	95,0	50,4
80,0	53,4	63,6	90,2	86,8	83,0	60,8
58,1	77,4	47,2	85,4	58,0	89,3	60,0
52,0	75,8	155,8	90,6	73,0	52,8	76,2
65,6	90,0	64,6	116,8	90,6	59,0	101,4
73,8	87,4					

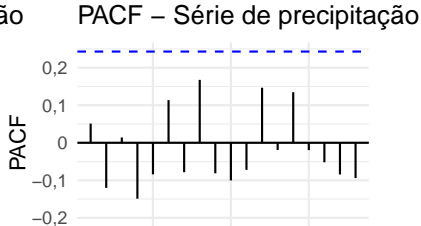
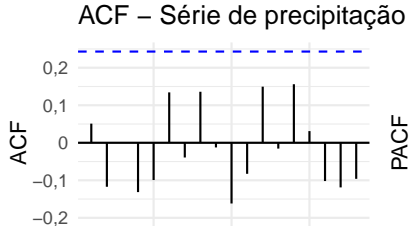
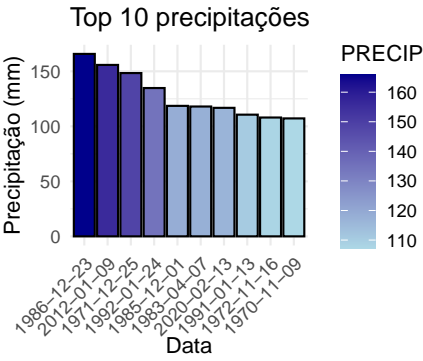
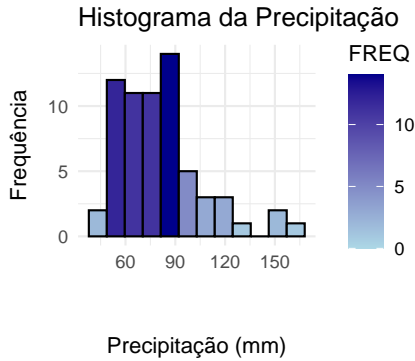
Valores em azul: 10 maiores precipitações

# Série temporal de máximas diárias anuais.



Fonte: Autores.

# Análise descritiva



# Resultados dos testes estatísticos

## Teste de aleatoriedade

O teste de sequência não rejeitou a hipótese nula de que a sequência de dados é aleatória, com um valor- $p = 0,0604$ .

## Teste de independência

O teste de Ljung-Box também não rejeitou a hipótese nula de independência dos dados, valor- $p = 0,6739$  corroborando com os gráficos ACF e PACF da Figura 29.

## Teste de estacionariedade

O teste de Dickey-Fuller rejeitou a hipótese nula de existência de raiz unitária, valor- $p = 0,01$  indicando que a série é estacionária.

# Estimativas dos parâmetros do modelo GEV

## Método de estimação

Estimativas dos parâmetros do modelo GEV foram obtidas pelo método da **máxima verossimilhança**, utilizando o algoritmo de **Newton-Raphson**.

## Parâmetros estimados

Os parâmetros de locação ( $\mu$ ), escala ( $\alpha$ ) e forma ( $\xi$ ) foram estimados como:

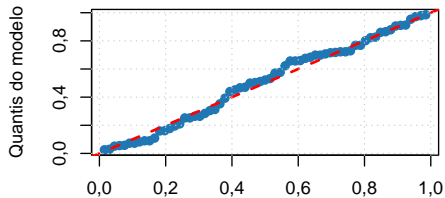
- **Locação ( $\hat{\mu}$ )**: 68,7578 (com erro padrão de 2,6719)
- **Escala ( $\hat{\alpha}$ )**: 18,2955 (com erro padrão de 2,0695)
- **Forma ( $\hat{\xi}$ )**: 0,1071 (com erro padrão de 0,1209)

## Adequação a GEV

O teste de Kolmogorov-Smirnov não rejeitou a hipótese nula, com um valor- $p = 0,6963$  indicando adequação da GEV aos dados.

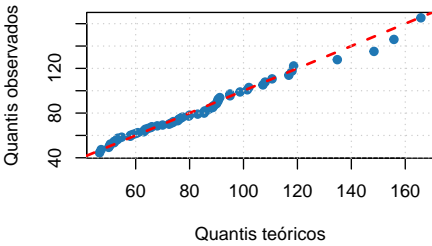
# Adequação do modelo

Gráfico de Probabilidade



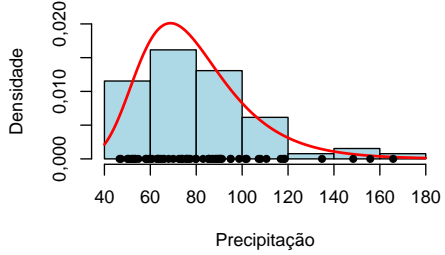
Quantis empíricos

Gráfico Q-Q



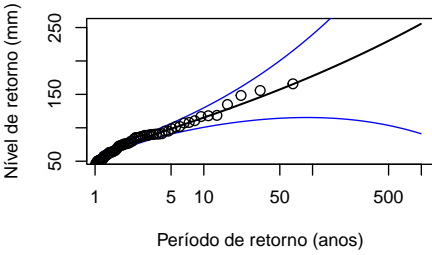
Quantis teóricos

Histograma



Precipitação

Gráfico do nível de retorno



Período de retorno (anos)

# Níveis de retorno e intervalos de confiança

## Estimativas e intervalos de confiança

Os níveis de retorno estimados pelo Método da Máxima Verossimilhança (EMV), juntamente com seus respectivos intervalos de confiança (IC), são apresentados a seguir:

- Para  $\hat{z}_{10}$ : **115,323 mm** (IC: 103,6287; 137,334)
- Para  $\hat{z}_{25}$ : **138,546 mm** (IC: 120,0185; 186,4295)
- Para  $\hat{z}_{50}$ : **157,358 mm** (IC: 131,6001; 236,7152)
- Para  $\hat{z}_{100}$ : **177,483 mm** (IC: 142,5628; 302,3116)

## Implicações e monitoramento

Em média, espera-se um nível de precipitação diária de **115,323 mm em um período de 10 anos**. Para os períodos de retorno de 25 e 50 anos, os níveis estimados são de **138,546 mm** e **157,358 mm**, respectivamente.

# Comparativo com estudos anteriores e implicações

## Subestimação das estimativas anteriores

Ao comparar nossos resultados com os apresentados por Beijo *et al.* (2005), observa-se que as estimativas anteriores estavam **subestimadas**.

- Para um período de retorno de **10 anos** (a partir de 2003), esperava-se uma precipitação máxima diária de **129 mm** (Beijo *et al.*, 2005).
- Contudo, esse valor foi **superado já em 2012**, com um registro de **155,8 mm em apenas uma hora**.
- De acordo com as estimativas de Beijo *et al.* (2005), um evento dessa magnitude era esperado apenas em um horizonte de **30 anos**.

## Por que isso importa?

A superação dos níveis de precipitação esperados em um período menor do que o previsto destaca a **urgência de atualizar e aprimorar** as estimativas de níveis de retorno.

Isso reforça a necessidade de:

- **Revisão e adequação** de planejamentos urbanos e infraestruturas hídricas.
- **Monitoramento contínuo** das condições climáticas e hidrológicas da região.
- Desenvolvimento de estratégias de **gestão de riscos** mais eficazes, especialmente para áreas de risco (alagamentos, deslizamentos, inundações).

# Conclusão: Desafios e próximos passos

## Principais pontos e implicações para Lavras

- A **distribuição de Gumbel** foi considerada adequada para modelar os dados de precipitação diária máxima em Lavras, alinhando-se a estudos anteriores (Beijo *et al.*, 2005).
- As estimativas dos tempos de retorno e seus intervalos de confiança são **ferramentas valiosas** para decisões preventivas no município.
- Um evento extremo como o de **165,8 mm** em 23 de dezembro de 1986 tem um tempo de retorno estimado em aproximadamente **25 anos**, considerando o intervalo de confiança do modelo.
- Contudo, é crucial reconhecer a **possível subestimação** dessas estimativas devido aos efeitos das **mudanças climáticas**, conforme já apontado por Beijo *et al.* (2005).
- Essa observação reforça a necessidade **de estudos contínuos** sobre eventos extremos, com revisões periódicas das estimativas de precipitação e atualização constante dos modelos de predição.

# Referências bibliográficas

-  BEIJO, L. A.; MUNIZ, J. A.; NETO, P. C. Tempo de retorno das precipitações máximas em lavras (mg) pela distribuição de valores extremos do tipo i. **Ciência e agrotecnologia**, SciELO Brasil, v. 29, p. 657–667, 2005.
-  CAUCHY, A. et al. Méthode générale pour la résolution des systemes d'équations simultanées. **Comp. Rend. Sci. Paris**, v. 25, n. 1847, p. 536–538, 1847.
-  G1 – Sul de Minas. **Chuva causa transtornos neste domingo no Sul de Minas**. 2025. Acesso em: 22 jun. 2025. Disponível em: <<https://g1.globo.com/mg/sul-de-minas/noticia/2025/01/26/chuva-causa-transtornos-neste-domingo-no-sul-de-minas.ghtml>>.
-  LAGE, B. G. P. **Acesso e Inserção da Agricultura Familiar Camponesa de Lavras-MG em Mercados de Cadeias Curtas**. Dissertação (Dissertação de Mestrado Profissional) — Universidade Federal de Lavras, Lavras, MG, 2019. Orientador(a): Thiago Rodrigo de Paula Assis; Coorientador(a): Nathalia de Fátima Joaquim.
-  MOOD, A. M.; GRAYBILL, F. A.; BOES, D. C. **Introduction to the Theory of Statistics**. 3rd. ed. [S.I.]: McGraw-Hill, 1974.
-  NEWTON, I. **De analysi per aequationes numero terminorum infinitas**. [S.I.: s.n.], 1711.
-  NEWTON, I. **Methodus fluxionum et serierum infinitarum. Opuscula mathematica, philosophica et philologica**, v. 1, p. 1774, 1774.
-  RAPHSON, J. **Analysis Aequationum Universalis**. 1690.
-  ROSLAN, R.; NA, C. S.; GABDA, D. Parameter estimations of the generalized extreme value distributions for small sample size. **Mathematics and Statistics**, v. 8, n. 2, p. 47–51, 2020.